

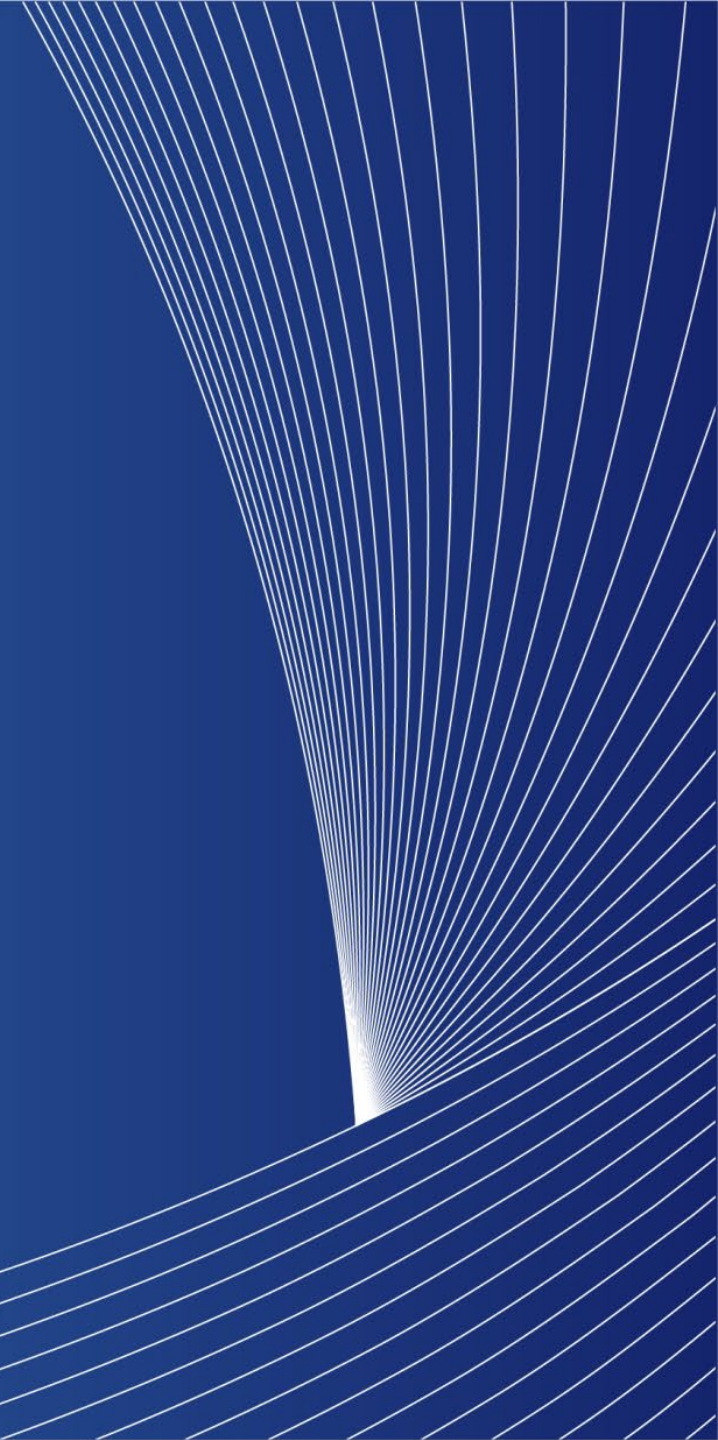


РФЯЦ-ВНИИТФ  
РОСАТОМ

# ЧИСЛЕННОЕ РЕШЕНИЕ ДВУМЕРНЫХ ЗАДАЧ С ФАЗОВЫМИ ПЕРЕХОДАМИ НА АДАПТИВНО-ВСТРАИВАЕМЫХ СЕТКАХ

Мустафин А. М., Веселова Н. Н., Лебедев С. Н.

# Постановка задачи



# Физическая модель

Вещество, заполняющее область  $G$  в пространстве  $xOy$ , в начальный момент времени находится в твердом состоянии при некоторой постоянной температуре  $T_0$ .

На одной из границ области устанавливается мощный источник тепла, имеющий температуру  $T_h$ , причем

$$T_h > T_s > T_f,$$

где  $T_s$  - температура испарения/конденсации,  
 $T_f$  - температура плавления/кристаллизации.

В поставленных условиях вещество начнет плавиться и, в последующем, испаряться. Таким образом имеет место явление фазового превращения.

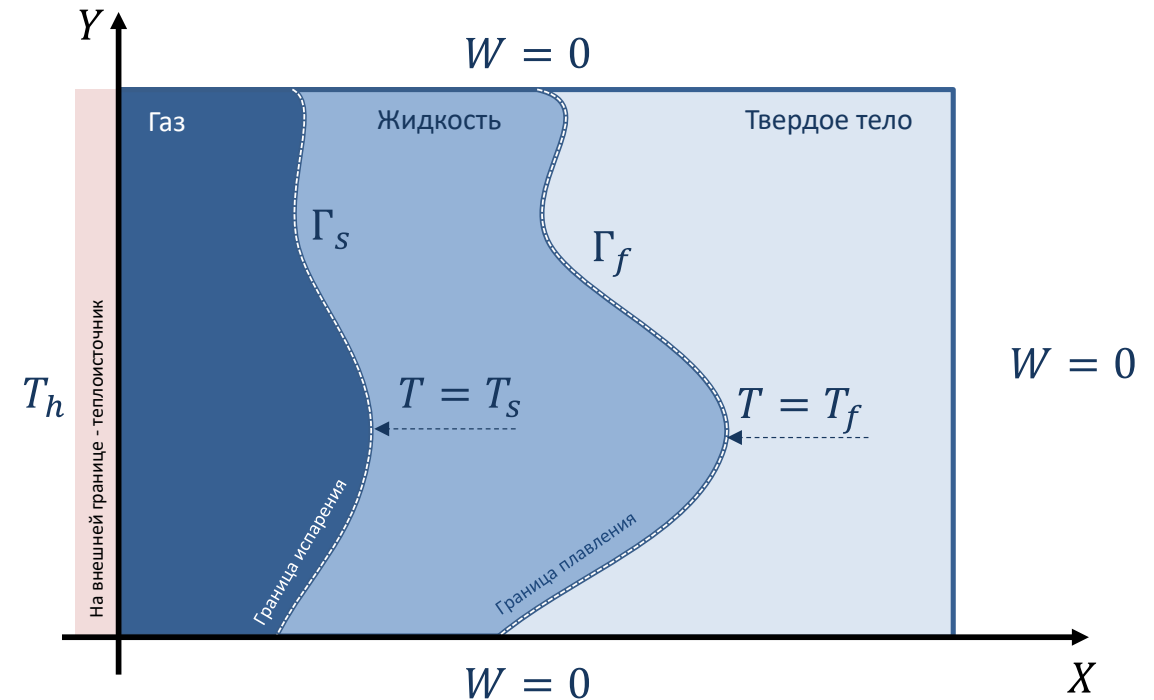


Рисунок 1 – Схематичное изображение рассматриваемой задачи

На рисунке 1:

- $\Gamma_s$  - граница испарения,
- $\Gamma_f$  - граница плавления.

# Математическая модель

Процесс распространения тепла в веществе описывается дифференциальным уравнением вида

$$\rho_i \frac{\partial \varepsilon_i}{\partial t} = \operatorname{div}(\chi_i \cdot \operatorname{grad}(T)) + f,$$

где

$i = \{s, l, g\}$  - индекс состояния вещества  
(твердое, жидкое, газообразное),

$T = T(x, y, t)$  - температура,

$\varepsilon_i(\rho_i, T)$  - удельная внутренняя энергия,

$\rho_i$  - плотность,

$\chi_i(\rho_i, T)$  - коэффициент теплопроводности,

$f(x, y, t)$  - плотность тепловых источников.

1

На границах фазовых переходов (плавления, испарения соответственно) вводятся условия Стефана<sup>1</sup> для потоков:

$$\begin{aligned} \chi_l \operatorname{grad}(T)|_{\Gamma_f-0} - \chi_s \operatorname{grad}(T)|_{\Gamma_f+0} &= L_f \rho \frac{d\xi_1}{dt}, \\ \chi_g \operatorname{grad}(T)|_{\Gamma_s-0} - \chi_l \operatorname{grad}(T)|_{\Gamma_s+0} &= L_s \rho \frac{d\xi_2}{dt}, \end{aligned}$$

2

где

$\xi_1(x, y, t)$ ,  $\xi_2(x, y, t)$  - функции описывающие изменение положения межфазовых границ с течением времени,

$L_f$  - скрытая теплота плавления, поглощаемая при плавлении или выделяемая при кристаллизации,

$L_s$  - скрытая теплота парообразования, поглощаемая при испарении или выделяемая при конденсации.

<sup>1</sup> Данилюк И. И. О задаче Стефана. // Успехи математических наук. 1985. Том 40, Вып. 5. С. 133-185.

# Общая краевая задача

В области двумерного пространства

$$G = [a_x \leq x \leq b_x] \times [a_y \leq y \leq b_y]$$

при  $t \in [0, t_{\max}]$  для уравнения (1) решаем краевую задачу

$$\begin{cases} T(x, y, 0) = \varphi(x, y), & x, y \in G, \\ \alpha T + \beta (\vec{W} \cdot \vec{n}) = \psi(x, y, t), & x, y \in L, \end{cases}$$

где  $\varphi(x, y)$  - заданное начальное распределение температуры,

$\psi(x, y, t)$  - заданные функции на краях,

$\alpha, \beta$  - заданные параметры,

$L$  - внешняя граница прямоугольной области  $G$

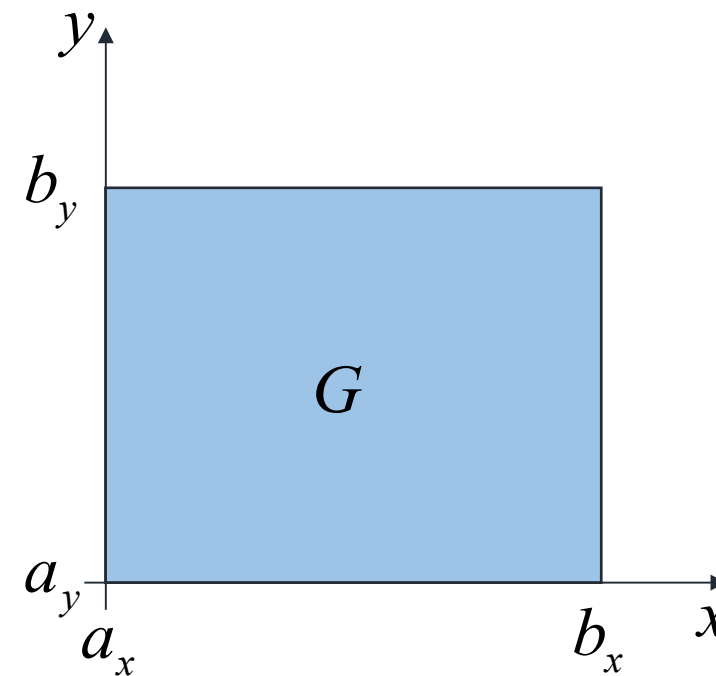
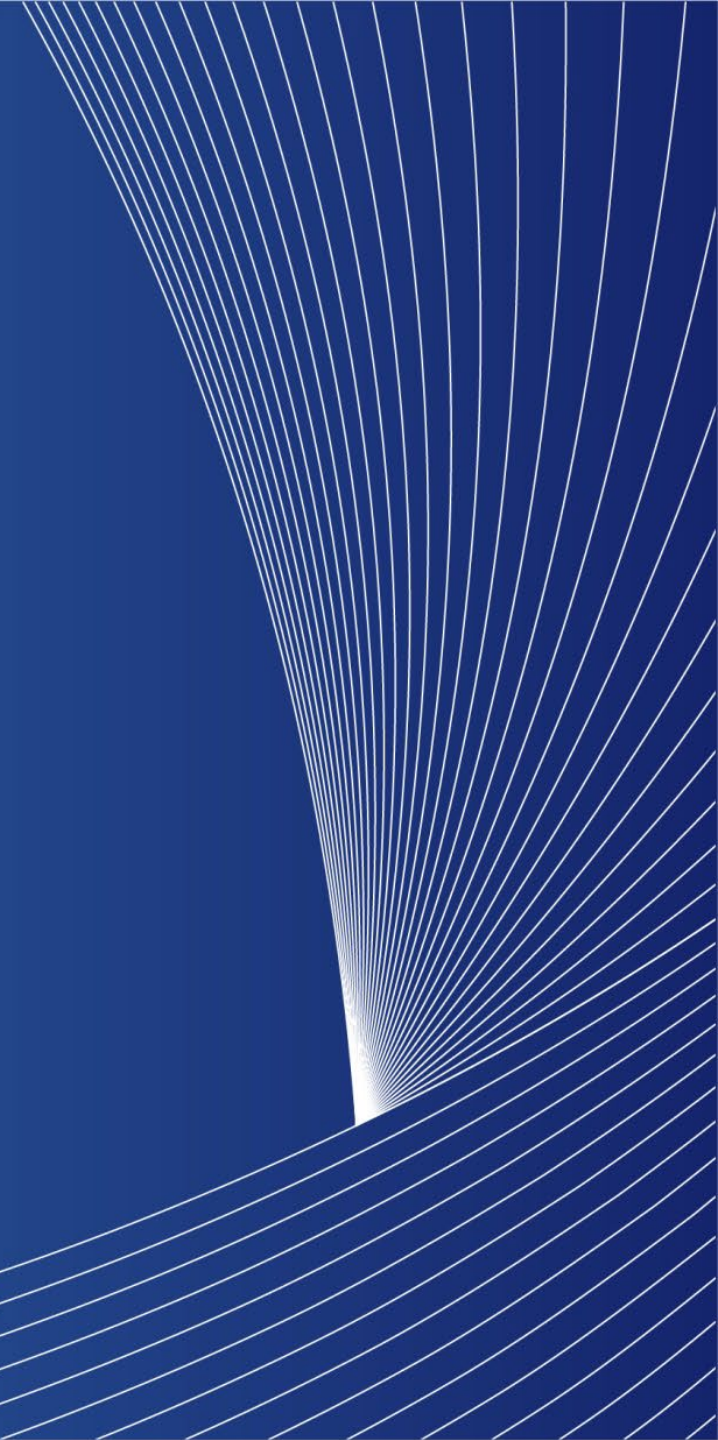


Рисунок 2 – Область определения



# Методика решения



# Переход к общему уравнению

Внутренняя энергия при фазовых переходах может быть записана с помощью функции Хевисайда<sup>1</sup>  $\hbar(x)$ :

$$\tilde{\varepsilon}(T) = \varepsilon + L_f \cdot \hbar(T - T_f) + L_s \cdot \hbar(T - T_s),$$

$$\hbar(x) = \begin{cases} 0, & x < 0, \\ 1, & x > 0, \end{cases}$$

где  $\varepsilon$  - некая обобщенная функция, определяющая внутреннюю энергию в зависимости от фазового состояния вещества.

При подстановке в выражение (1) получаем уравнение теплопроводности с учетом трех фазовых состояний

$$\boxed{\rho \tilde{C}(T) \frac{\partial T}{\partial t} = \operatorname{div}(\chi \cdot \operatorname{grad}(T)) + f}, \quad (3)$$

$$\tilde{C}(T) = \frac{\partial \varepsilon}{\partial T} + L_f \cdot \delta(T - T_f) + L_s \cdot \delta(T - T_s),$$

где  $\rho = \rho(T)$  - функция, задающая плотность вещества;  $\chi = \chi(T)$  - функция, задающая коэффициент теплопроводности. В случае линейной зависимости энергии от температуры внутренняя энергия определена выражением  $\varepsilon(T) = c_v T$ , в котором  $c_v$  - функция, определяющая коэффициент удельной теплоемкости.

<sup>1</sup> Мазо А.Б. Основы теории и методы расчета теплопередачи: учебное пособие. – Казань: Казан. ун-т, 2013. – 144 с.

# Особенности характеристик вещества

Разрывные функции для плотности, коэффициентов теплоемкости и теплопроводности заменяются следующими непрерывными функциями

$$(\circ)(T) = \begin{cases} (\circ)_g, & T > T_s + \Delta_s, \\ (\circ)_l \gamma(T - T_s) + (\circ)_g (1 - \gamma(T - T_s)), & T_s - \Delta_s \leq T \leq T_s + \Delta_s, \\ (\circ)_l, & T_f + \Delta_f < T < T_s - \Delta_f \\ (\circ)_s \gamma(T - T_f) + (\circ)_l (1 - \gamma(T - T_f)), & T_f - \Delta_f \leq T \leq T_f + \Delta_f, \\ (\circ)_s, & T < T_f - \Delta_f, \end{cases}$$

где  $(\circ)$  заменяется на  $\rho, \chi, C$ , а параметр  $\delta$ -функции записан для каждой границы фазового перехода отдельно,  $\Delta_f, \Delta_s$  - плавления, испарения, соответственно,  $\gamma$  - функция сглаживания.

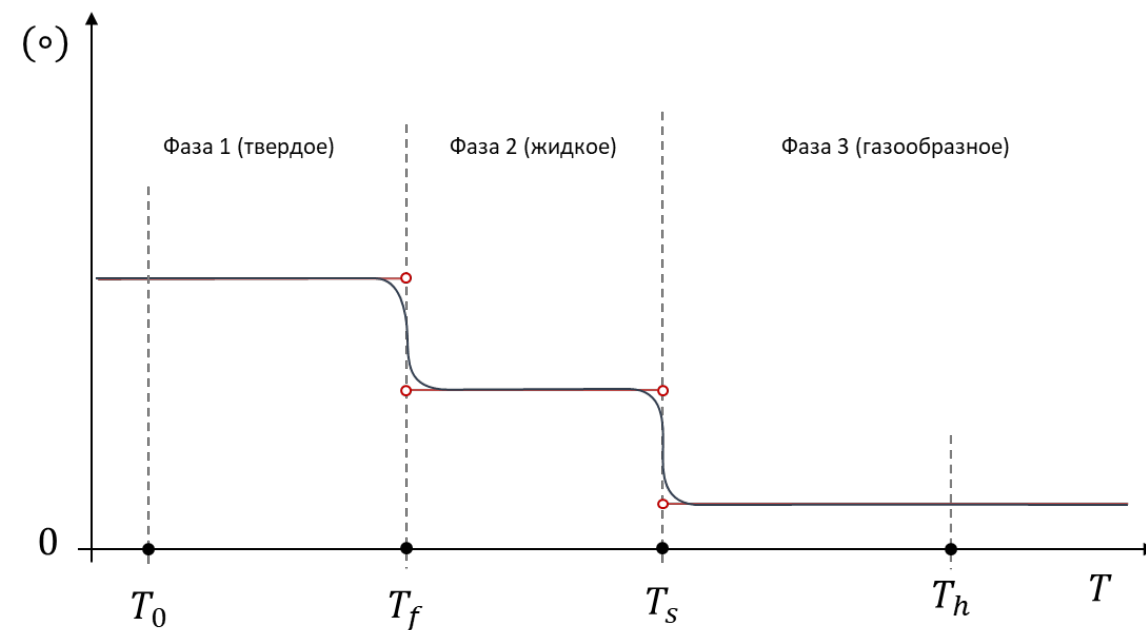


Рисунок 3 – Схематичное изображение функции характеристики вещества



# Функция сглаживания и аналог $\delta$ -функции

В данной работе используется  $\delta$ -функция в следующей форме

$$\delta(x) = \frac{1}{a\sqrt{\pi}} \cdot e^{-\left(\frac{x}{a}\right)^2},$$

4

где параметр  $a = \Delta(2\sqrt{\pi})^{-1}$ ,  
 $\Delta$  - параметр, задающий полуширину колокола функции.

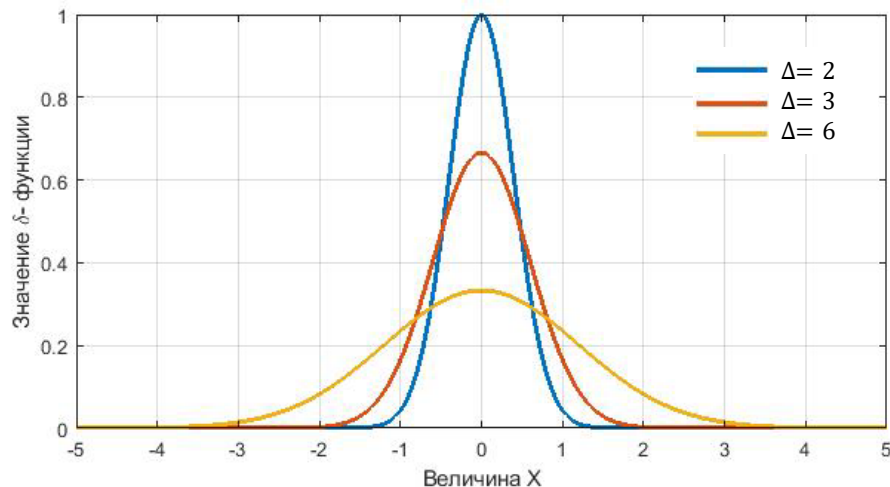


Рисунок 4 –  $\delta$ -функция с тремя различными параметрами

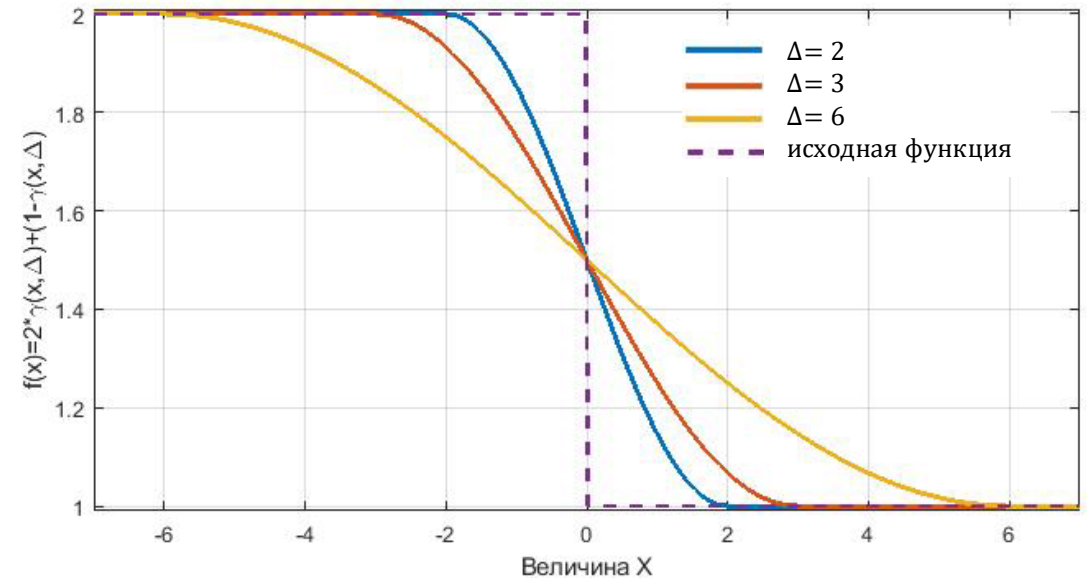


Рисунок 5 – Пример сглаживания  $\gamma$ -функцией характеристики меняющей свое значение с 2 до 1 в точке  $x=0$

Функция сглаживания действует в области  $\delta$ -функции ( $|x| < \Delta$ ) и определяется как:

$$\gamma(x) = \frac{1}{2} \cos\left(\frac{\pi(x + \Delta)}{2\Delta}\right) + \frac{1}{2},$$

где  $\Delta$  - параметр  $\delta$ -функции.

5

9

# Метод конечных разностей

Введем на плоскости  $(x, y)$  сетку:

$$\omega_{h_x h_y} = \omega_{h_x} \times \omega_{h_y},$$

$$\omega_{h_x} = \{x_j = j \cdot h_x, j = 0, 1, 2, \dots, J\},$$

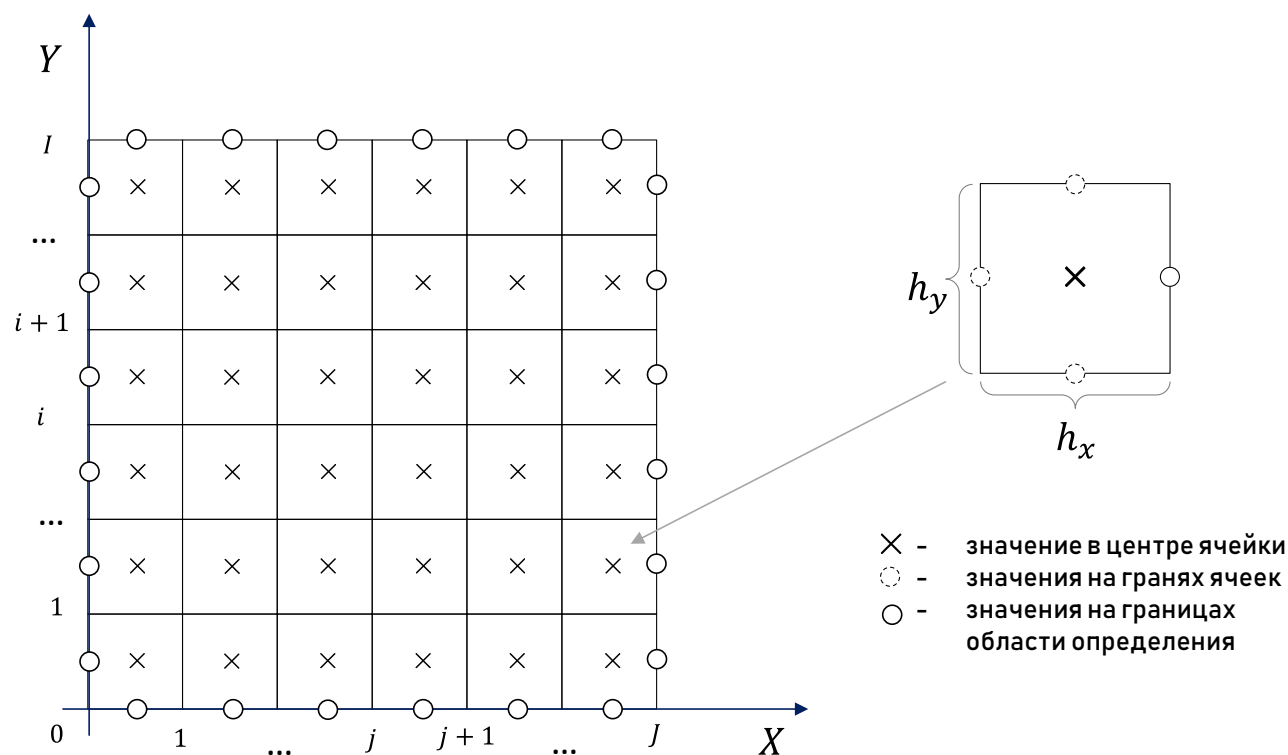
$$\omega_{h_y} = \{y_i = i \cdot h_y, i = 0, 1, 2, \dots, I\}$$

с шагами  $h_x$  (по  $x$ ) и  $h_y$  (по  $y$ ).

Расширим сетку во временную область, введя шаги по времени  $\tau$

$$\omega_{h_x h_y \tau} = \omega_{h_x} \times \omega_{h_y} \times \omega_{\tau},$$

$$\omega_{\tau} = \{t_n = n \cdot \tau, n = 0, 1, 2, \dots\}.$$



# Разностная схема «Ромб»

Схема записывается при помощи двух СЛАУ

$$\begin{cases} T_j^{\mu+1} + T_{j+1}^{\mu+1} + \left[ 2\delta_{j+1/2} + \frac{2\tau}{\tilde{C}m} \right] \Delta_j (W_x)^{\mu+1} = 2 \left( T^n + \frac{\tau}{\tilde{C}\rho} f^{n+1} - \frac{\tau}{\tilde{C}m} \Delta_i (W_y)^{\mu+1/2} \right), \\ 2\chi_x^\mu \frac{h_y^2}{\Delta S} \Delta_j (T)^{\mu+1} + (W_x)_j^{\mu+1} + (W_x)_{j+1}^{\mu+1} = 0, \end{cases}$$

$$\begin{cases} T_i^{\mu+1/2} + T_{i+1}^{\mu+1/2} + \left[ 2\delta_{i+1/2} + \frac{2\tau}{\tilde{C}m} \right] \Delta_i (W_y)^{\mu+1/2} = 2 \left( T^n + \frac{\tau}{\tilde{C}\rho} f^{n+1} - \frac{\tau}{\tilde{C}m} \Delta_j (W_x)^\mu \right), \\ 2\chi_y^\mu \frac{h_x^2}{\Delta S} \Delta_i (T)^{\mu+1/2} + (W_y)_i^{\mu+1/2} + (W_y)_{i+1}^{\mu+1/2} = 0, \end{cases}$$

где  $\delta$  – параметр схемы «Ромб»,

$\Delta_i(\circ) = (\circ)_{i+1} - (\circ)_i$  – разность величин, заданных на ребрах.

6

7

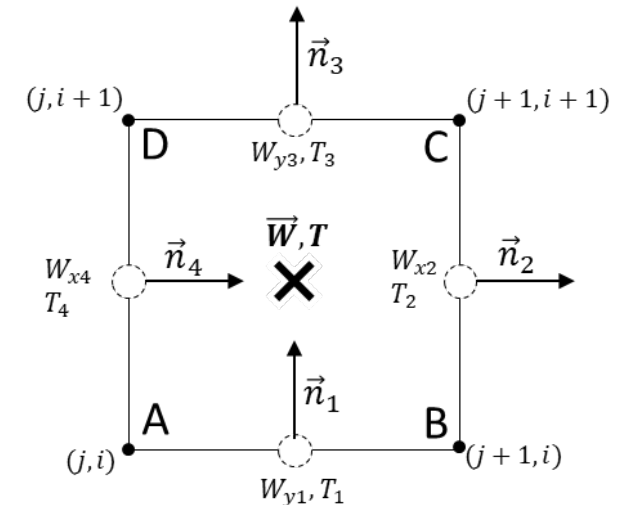


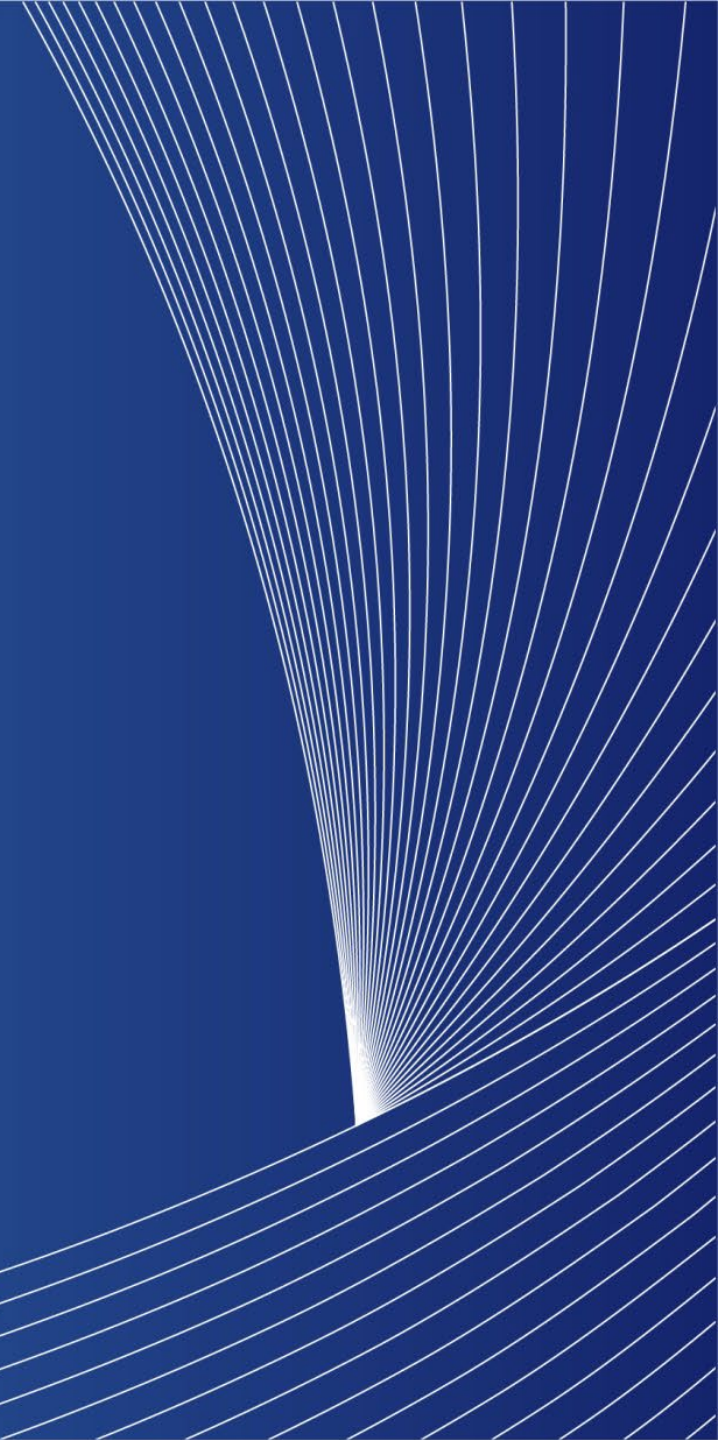
Рисунок 6 – Аппроксимация по пространству схемой «Ромб»

Из соответствующего каждой системе уравнения баланса восстанавливаем температуру в центрах ячеек

$$T_{i+1/2}^{\mu+1/2} = T^n + \frac{\tau}{\tilde{C}\rho} f^{n+1} - \frac{\tau}{\tilde{C}m} \left[ (W_x)_{j+1} - (W_x)_j \right]^\mu - \frac{\tau}{\tilde{C}m} \left[ (W_y)_{i+1} - (W_y)_i \right]^{\mu+1/2}$$

$$T_{j+1/2}^{\mu+1} = T^n + \frac{\tau}{\tilde{C}\rho} f^{n+1} - \frac{\tau}{\tilde{C}m} \left[ (W_x)_{j+1} - (W_x)_j \right]^{\mu+1} - \frac{\tau}{\tilde{C}m} \left[ (W_y)_{i+1} - (W_y)_i \right]^{\mu+1/2}$$

# Введение адаптивно- встраиваемой сетки



# Адаптация сетки

Измельчение разностной сетки участками ведет к тому, что она теряет регулярную матричную структуру, становится таким образом нерегулярной.

Введем обозначения для новой сетки:

$K = I \cdot J + 4P$  - общее число ячеек,

$P$  - число ячеек подвергшихся дроблению,

$k = 0, 1, 2, \dots, K - 1$  - номер ячейки.

Тогда размеры каждой ячейки определяются следующим образом

$$\left(\tilde{h}_y\right)_k = h_y / 2^{L_k}, \quad \left(\tilde{h}_x\right)_k = h_x / 2^{L_k},$$

где  $h_x$  и  $h_y$  - пространственные шаги исходной регулярной сетки,  $L$  - уровень адаптации  $k$ -ой ячейки.

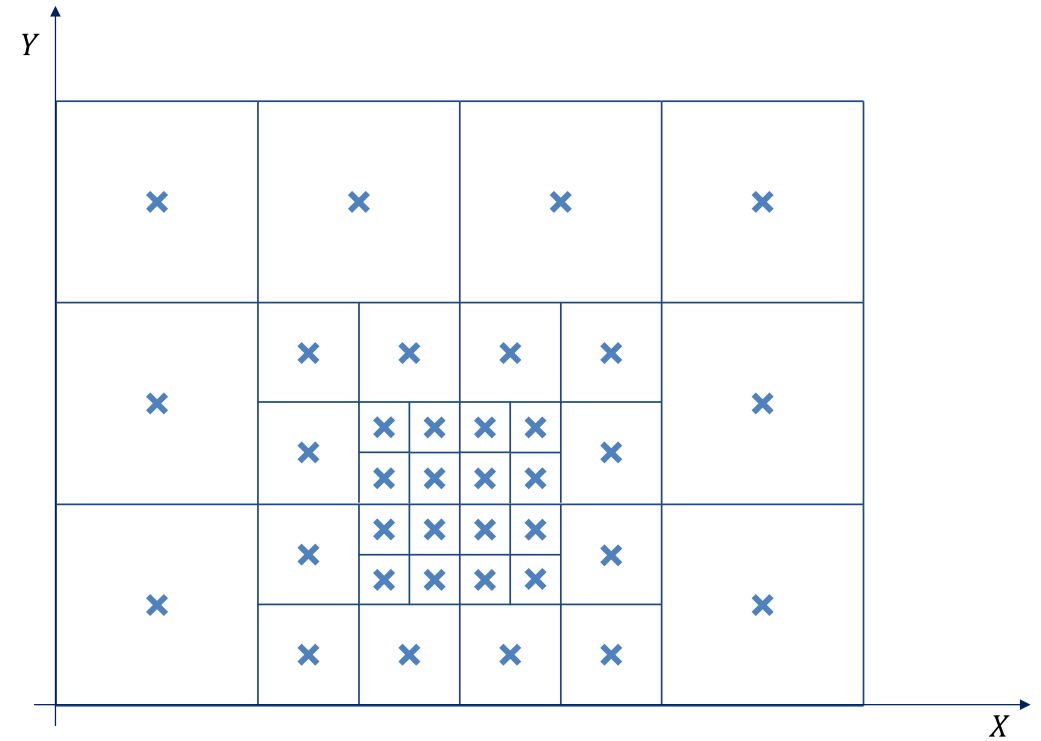
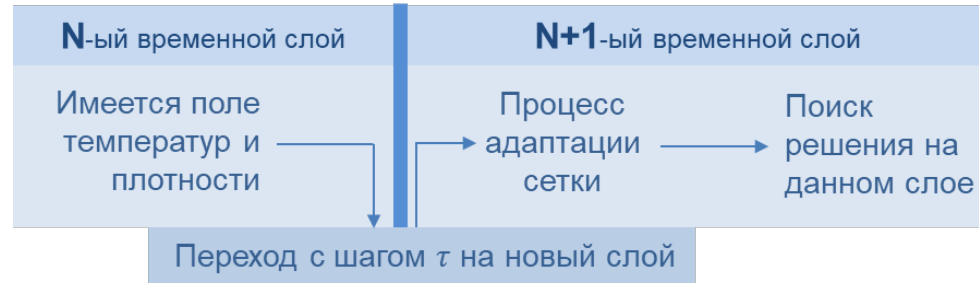


Рисунок 7 – Представление адаптивной сетки



# Процесс адаптации



Решение уравнений осуществляется шагами по времени. Перед решением на новом шаге проводится адаптация сетки к решению полученному на предыдущем шаге. Затем температура и плотность отображается на новую сетку.



- Исходная ячейка на каждом уровне адаптации, при удовлетворении условию адаптации, делится на четыре равные ячейки меньшего размера.
- Не удовлетворяющие условию адаптации, ячейки объединяются. Температура в родительской ячейке восстанавливается через удельную внутреннюю энергию и среднюю теплоемкость:

$$\varepsilon_{(k)_L} = \frac{\sum_{s=0}^3 \varepsilon_{(k+s)_{L+1}} m_{(k+s)_{L+1}}}{\sum_{s=0}^3 m_{(k+s)_{L+1}}}$$

$$c_{(k)_L} = \frac{\sum_{s=0}^3 c_{(k+s)_{L+1}} m_{(k+s)_{L+1}}}{\sum_{s=0}^3 m_{(k+s)_{L+1}}}$$

$$T_{(k)_L} = \varepsilon_{(k)_L} / c_{(k)_L}$$

Рисунок 8 – Пример дробления ячеек в два уровня

# Процесс адаптации



## Условие адаптации:

- 1  $\varepsilon$ -окрестность точек, принадлежащих границе фазового перехода

$$O_\varepsilon(D) = \left\{ (x, y) : \sqrt{(x - x_D)^2 + (y - y_D)^2} < \varepsilon \right\}$$

При переходе на каждый следующий уровень  $\varepsilon$ -окрестность уменьшается в два раза.

- 2 минимальное пороговое значение величины градиента температур

$$T_{grad}$$

При переходе на каждый следующий уровень пороговое значение увеличивается в два раза

Максимальный уровень адаптации в данной работе | 2

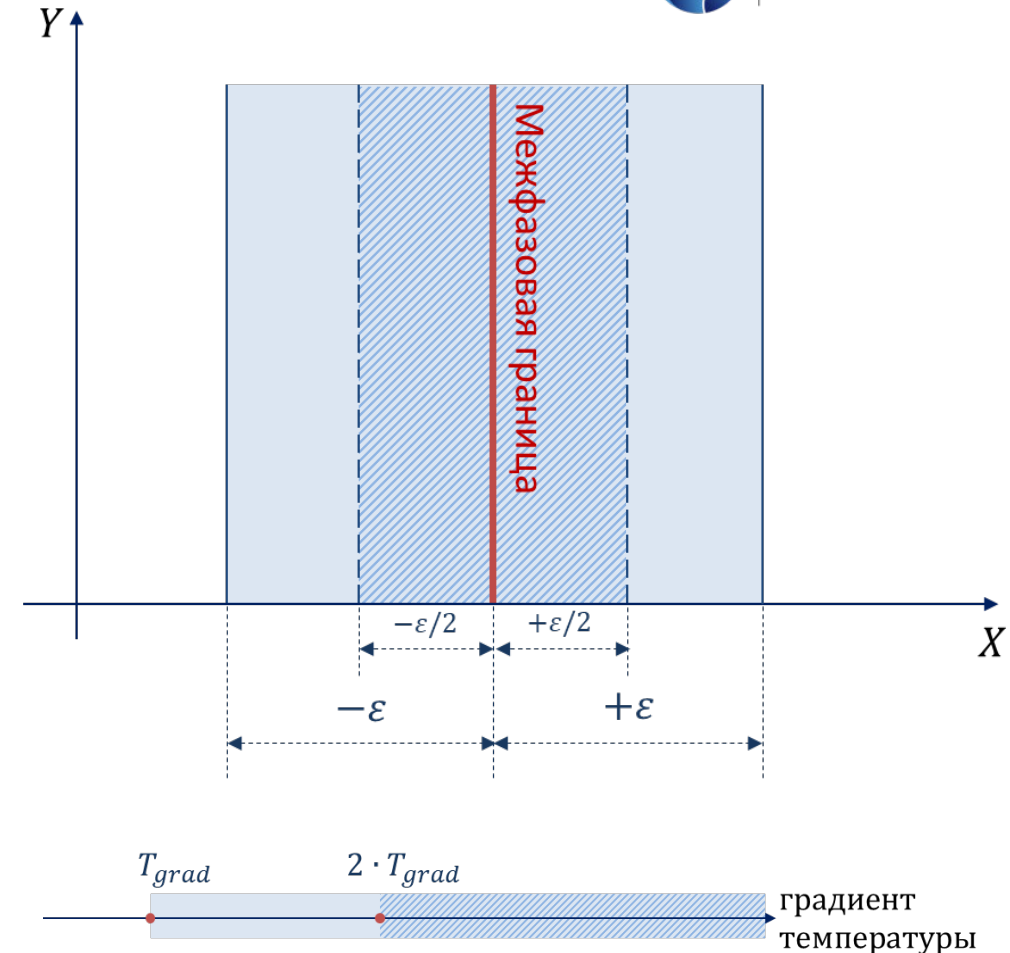


Рисунок 9 – Условия адаптации в графическом виде

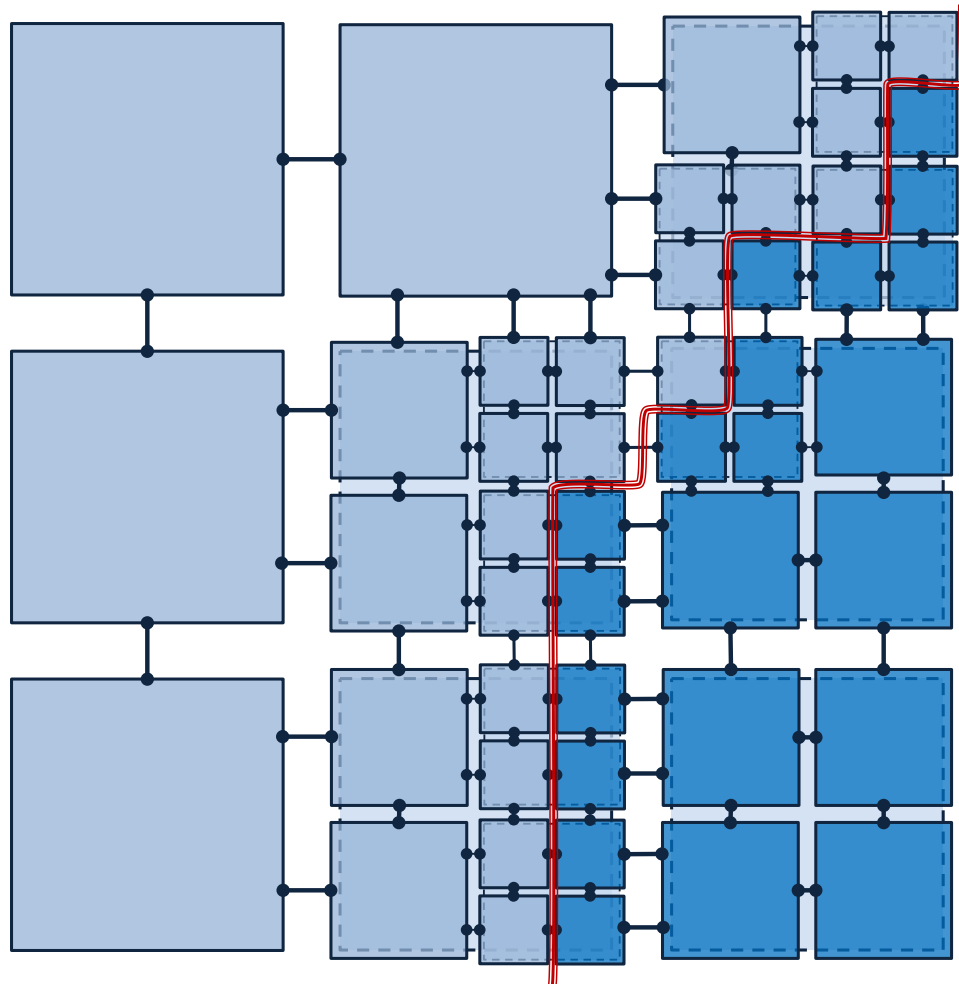


Рисунок 10 – Визуальное представление разностной сетки с двухуровневой адаптацией в виде сложной структуры данных

Элемент сложной структурной сети – ячейка.

## ВНУТРЕННЯЯ СТРУКТУРА ЯЧЕЙКИ

### БЛОК ИНФОРМАЦИИ

- Значения ячейки  
*на разных временных и итерационных слоях*
- Характеристики ячейки  
*уровень адаптации, материал,  
фазовое состояние*

### БЛОК СВЯЗЕЙ (ССЫЛОК)

- Ссылка на потомков  
*набор из 4-ех ячеек связанных в блок*
- Ссылки на соседей  
*стеки ссылок сгруппированные  
по граням ячейки*

Данная структура спроектирована на языке программирования C++.

# Программный пакет DiffSchematic

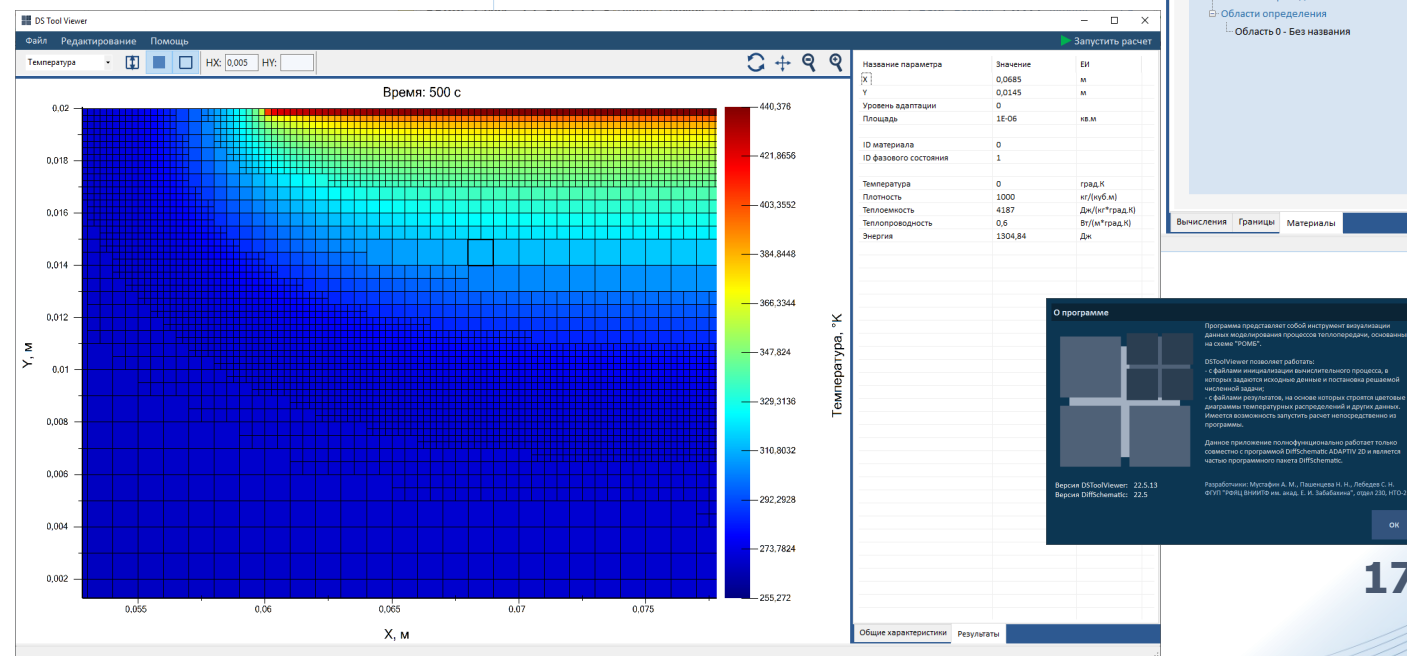
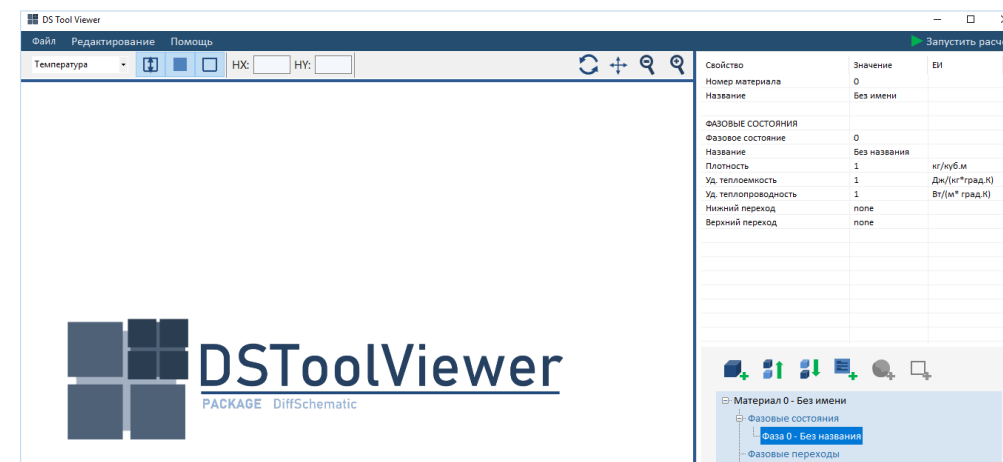
Решение поставленной задачи осуществляется при помощи разработанного пакета программ.

## DiffSchematic ADAPTIV 2D - программа вычислений:

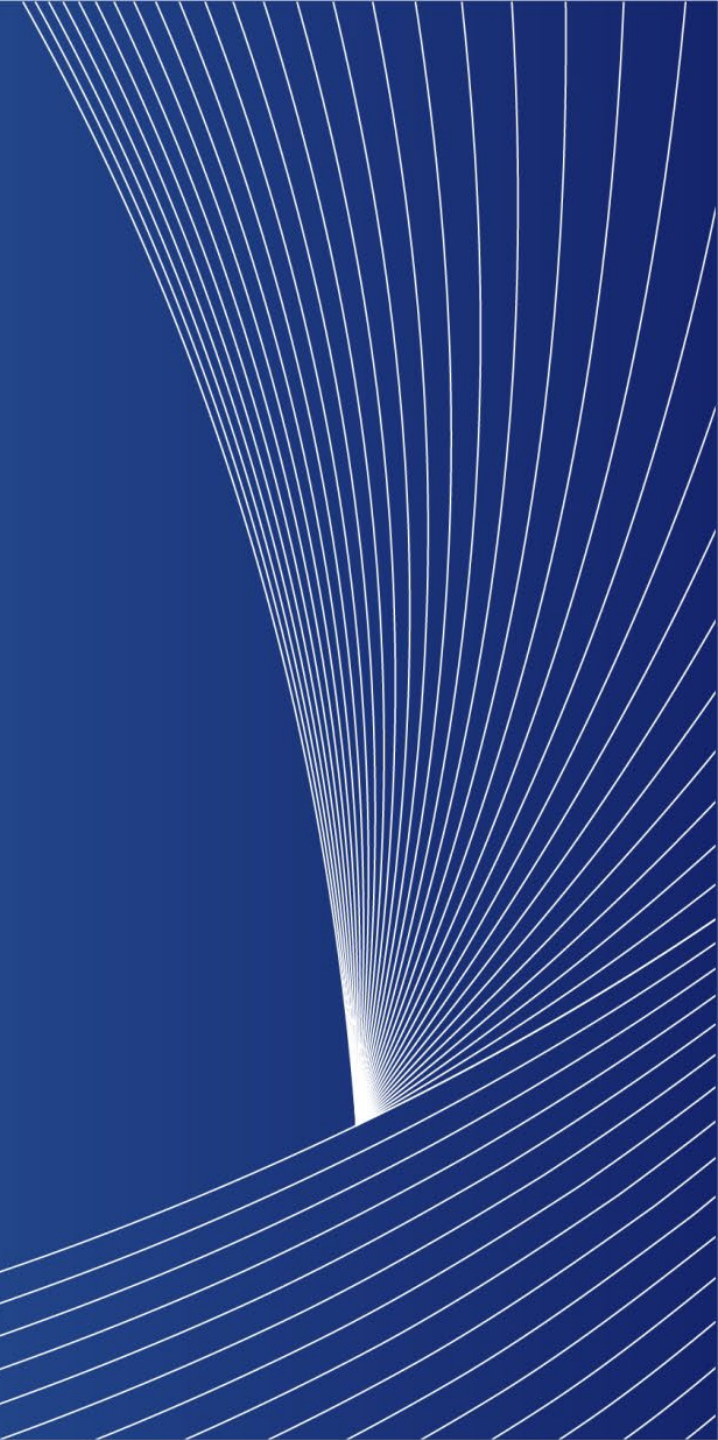
- написана на языке программирования C++ в виде консольного приложения,
- основана на классе реализующем адаптивную сетку,
- решает сформированную задачу и сохраняет результаты в файл.

## DSToolViewer – пользовательская оболочка:

- написана на языке программирования C++/CLI в виде оконного приложения,
- позволяет сформировать файл исходных данных для вычислений,
- визуализирует результаты вычислений в виде цветовой диаграммы,
- графика реализована при помощи библиотеки Open GL.



# Численные результаты





# Задача о тепловой волне в неоднородной области

В области  $G \in [0,10] \times [0,10]$  находится вещество с характеристиками

$$\rho = 1, \quad c_v = 1, \quad \chi(T) = 6T^3.$$

Начальное распределение температуры:  $T(x, y, 0) = T_0 = 1 \cdot 10^{-5} \text{ }^\circ\text{K}$

Граничные условия:

$$T(0, y, t) = \begin{cases} (2(4t - y \sin \alpha))^{1/3}, & (4t - y \sin \alpha) > 0, \\ 0, & (4t - y \sin \alpha) \leq 0, \end{cases}$$

$$T(x, 0, t) = \begin{cases} (2(4t - x \cos \alpha))^{1/3}, & (4t - x \cos \alpha) > 0, \\ 0, & (4t - x \cos \alpha) \leq 0, \end{cases} \quad x < 3,$$

$$W(x, 0, t) = 0, \quad x \geq 3, \quad W(10, y, t) = W(x, 10, t) = 0,$$

где  $t \in [0, t_{end}]$ , а  $x, y \in L$ ,  $L$  – граница области  $G$ .

Тепловая волна движется под углом  $\alpha = 30^\circ$ .

Заданная область включает в себя подобласть  $C \in [3, 6] \times [0, 3]$  с веществом, не проводящим тепло. Данное вещество имеет следующие характеристики:

$$\rho = 1 \cdot 10^{-3}, \quad c_v = 1, \quad \chi(T) = 1 \cdot 10^{-7}.$$

Все, представленные в данной задаче величины записаны в безразмерном виде.

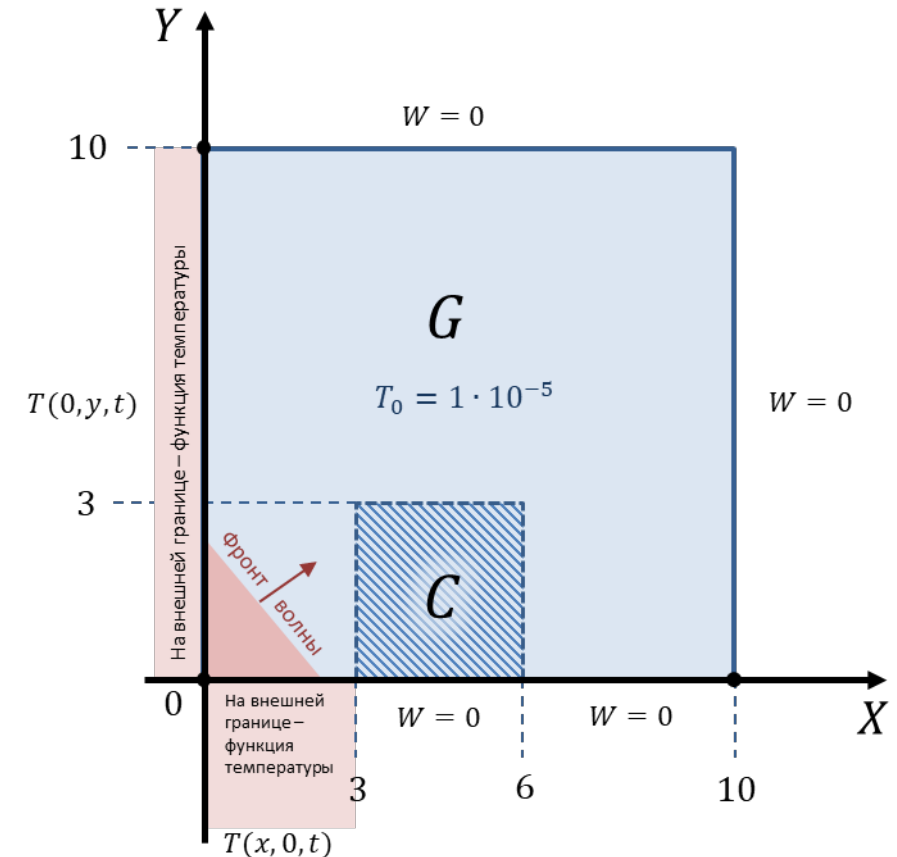


Рисунок 11 – Схематичное изображение задачи о тепловой волне

# Сравнение численных решений

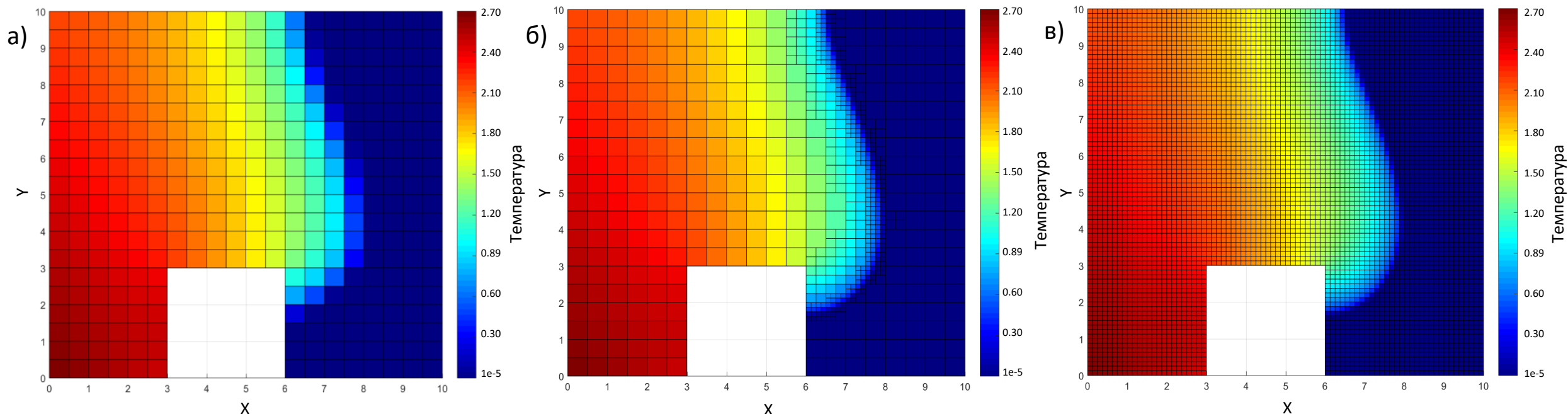


Рисунок 12 – Полученные распределения температур при  $t_{end} = 2.5$ : на исходной сетке 20x20 без адаптации (а) и с адаптацией по градиенту температуры (б), на исходной сетке 80x80 без адаптации (в).

Полученные температурные распределения показывают, что адаптация сетки позволяет хорошо описывать участки с криволинейными адаптируемыми зонами. Фронт тепловой волны достаточно четко определяется и при использовании даже грубой сетки совместно с алгоритмом адаптации.

# Сравнение численных решений

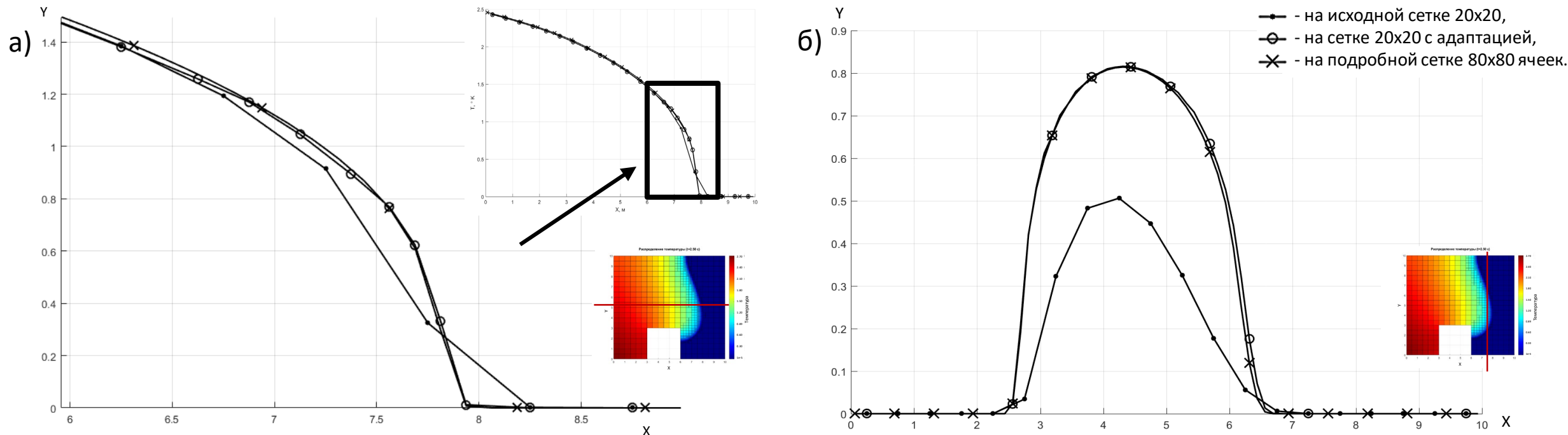


Рисунок 13 – Профили распределения температуры вдоль линий  $x = 5.0156$  (а) и  $y = 5.0156$  (б) на момент  $t_{end} = 2.5$

Решение на адаптивной сетке практически совпадает с решением на подробной сетке в отличие от решения на исходной грубой сетке, значительно уступающего в точности.

Полученные температурные профили показывают, что адаптация грубой сетки в зоне фронта тепловой волны позволяет получить численный результат достаточно близкий к решению на подробных регулярных сетках.

# Исследование нормы численного решения

Таблица 1 – Сравнение разностных норм полученных численных решений на различных сетках и затраты по времени

| Число ячеек исходной сетки | Исходная сетка |              |                | Адаптивная сетка |              |                |
|----------------------------|----------------|--------------|----------------|------------------|--------------|----------------|
|                            | Норма *        | $\Delta$ , % | Время счета, с | Норма *          | $\Delta$ , % | Время счета, с |
| 10×10                      | 1.15015        | -1.9         | 30             | 1.16633          | -0.5         | 67             |
| 20×20                      | 1.16421        | -0.7         | 110            | 1.17130          | -0.1         | 223            |
| 40×40                      | 1.17002        | -0.3         | 576            | –                | –            | –              |
| 80×80                      | 1.17242        | 0            | 2717           | –                | –            | –              |

\* Норма представлена разностным интегралом температурного распределения, нормированным на площадь заданной области

$$\|T\| = \frac{\sum_{k=0}^K T_k \cdot \Delta S_k}{S_G}$$

$\Delta S_k$  - площадь  $k$ -ой ячейки сетки,  
 $S_G$  - площадь области определения,  
 $T_k$  - температура в центре  $k$ -ой ячейки.

Численные решения на адаптивных сетках



Численным решениям на регулярных сетках в 4 раза подробнее исходных

При этом затраченное на расчет время меньше примерно в

**8-12** раз

# Задача о воздействии теплового пучка на брусок Fe

В области  $G = [0 \leq x \leq 0.1] \times [0 \leq y \leq 0.02]$  при  $t \in [0, t_{end}]$  для уравнения (3) решается начально-краевая задача

$$\begin{cases} T(x, y, 0) = T_0 = 300, & x, y \in G, \\ W(0, y, t) = 0, & y \in L, \\ W(0.2, y, t) = 0, & y \in L, \\ W(x, 0, t) = 0, & x \in L, \\ W(x, 0.02, t) = 0, & x \in L, x < 0.065, x > 0.065, \\ T(x, 0.02, t) = 2000, & x \in L, 0.035 \leq x \leq 0.065, \end{cases}$$

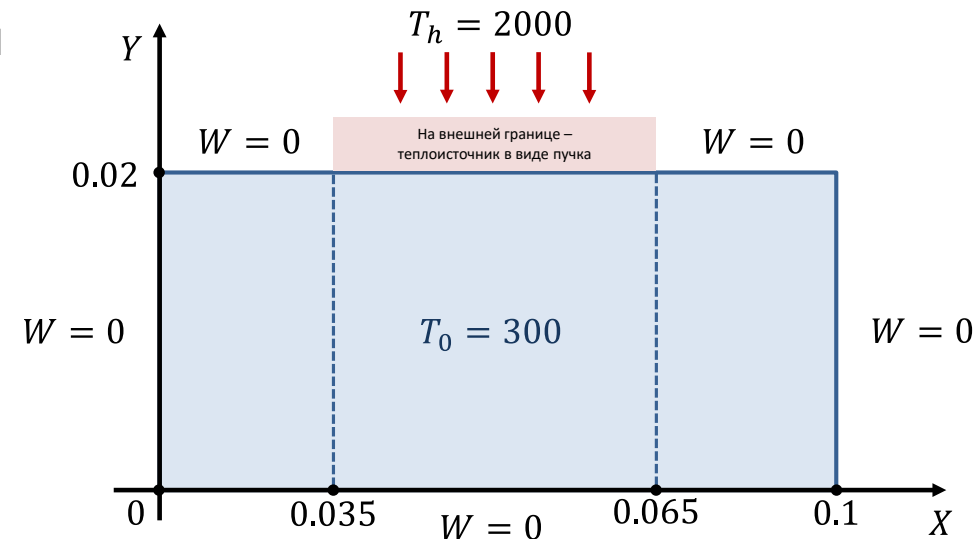


Рисунок 14 – Схематичное изображение задачи о воздействии теплового пучка

Заполняющее область  $G$ , вещество имеет характеристики<sup>1</sup>:

- Твердое тело  $\chi_s = 82 \text{ Вт}/(\text{м} \cdot \text{К})$ ,  $\rho_s = 7870 \text{ кг}/\text{м}^3$ ,  $c_s = 674.7 \text{ Дж}/(\text{кг} \cdot \text{К})$
- Расплав  $\chi_l = 39 \text{ Вт}/(\text{м} \cdot \text{К})$ ,  $\rho_l = 7000 \text{ кг}/\text{м}^3$ ,  $c_l = 749.5 \text{ Дж}/(\text{кг} \cdot \text{К})$

Для  $\delta$ -функции задаются параметры  $\Delta_f = 300^\circ\text{К}$ .

Температура и удельная теплота фазового перехода соответственно

$$T_f = 1812^\circ\text{К}, \quad L_f = 2.7 \times 10^5 \text{ Дж}/\text{кг}$$

Все, представленные в данной задаче величины записаны в системе единиц СИ.

<sup>1</sup> Физические величины: справочник / Бабичев А.П., Бабушкина Н.А., Братковский А.М. и др. / под. ред. Григорьева И.С., Мейлихова Е.З. – М.: Энергоатомиздат, 1991.- 1232 с.



# Сравнение решений на адаптивной и исходной сетках

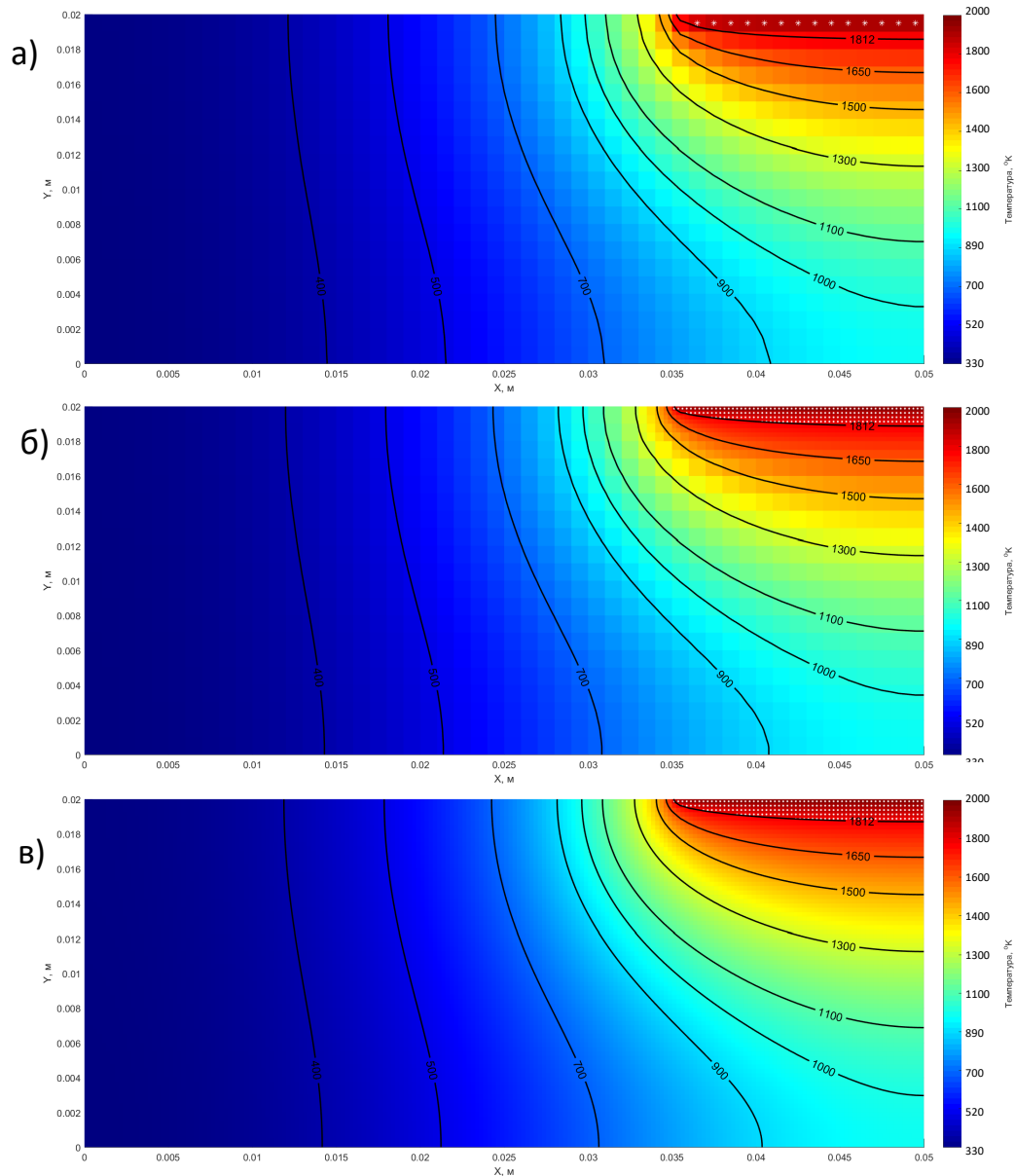


Рисунок 15 –  
Распределение температуры на участке области G полученные:  
(а) - на исходной сетке 100x20;  
(б) - на адаптивной сетке с исходным числом ячеек 100x20;  
(в) - на подробной сетке 400x80

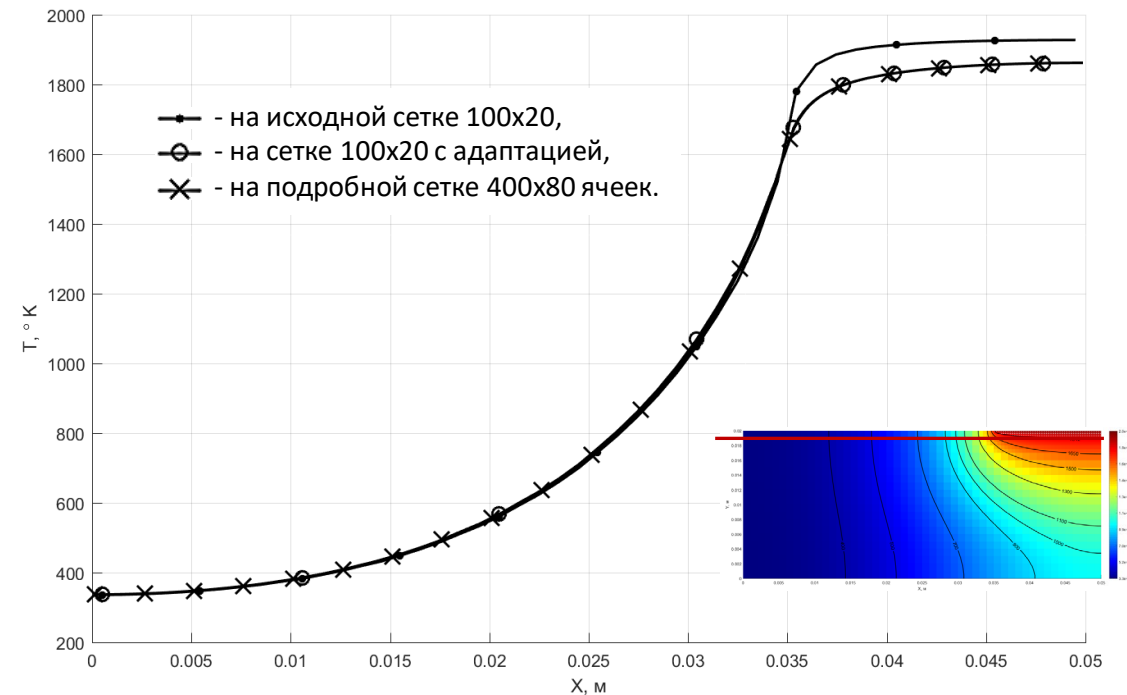
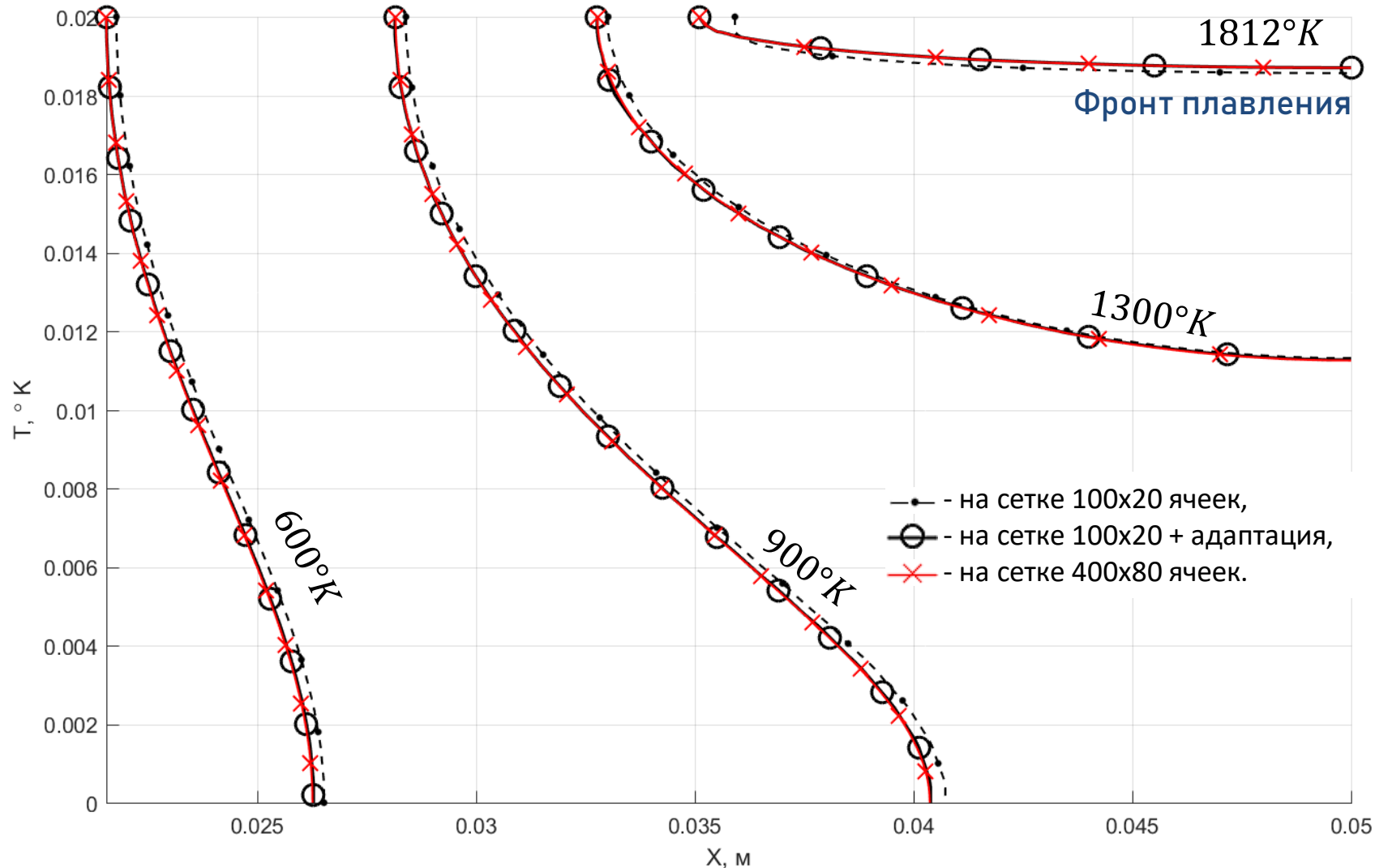


Рисунок 16 – Профили распределения температуры вдоль линий  $x = 1.90625 \cdot 10^{-2}$  на момент  $t_{end} = 10$

Решение на адаптивной сетке с исходным числом ячеек 100x20 значительно отличается от решения, полученного без адаптации, но при этом достаточно близко к решению, полученному на подробной сетке 400x80 ячеек. Особенно хорошо это видно на температурных профилях сечений вдоль оси X.

# Сравнение решений на адаптивной и исходной сетках



Профили изолиний, соответствующих выбранным температурам, для решений на подробной сетке 400x40 и на адаптивной сетке с исходным числом ячеек 100x10, также совпадают друг с другом.

Решение на грубой сетке согласно профилям изолиний значительно отличаются от решений на адаптивной сетке.

Рисунок 17 – Профили изолиний соответствующие некоторым температурам, включая температуру плавления

# Сравнение норм численных решений

Таблица 2 – Сравнение норм численного решения и времени вычисления на различных сетках

| Число ячеек исходной сетки | Исходная сетка |              |                | Адаптивная сетка |              |                |
|----------------------------|----------------|--------------|----------------|------------------|--------------|----------------|
|                            | Норма *        | $\Delta$ , % | Время счета, с | Норма *          | $\Delta$ , % | Время счета, с |
| 100 × 20                   | 749.161        | -0.74        | 329            | 753.694          | -0.14        | 1162           |
| 200 × 40                   | 752.717        | -0.27        | 1879           | 754.852          | 0.01         | 10302          |
| 400 × 80                   | 754.174        | -0.05        | 12086          | –                | –            | –              |
| 800 × 160                  | 754.745        | 0            | 83925          | –                | –            | –              |

\* Норма представлена разностным интегралом температурного распределения, нормированным на площадь заданной области

$$\|T\| = \frac{\sum_{k=0}^K T_k \cdot \Delta S_k}{S_G}$$

$\Delta S_k$  - площадь  $k$ -ой ячейки сетки,  
 $S_G$  - площадь области определения,  
 $T_k$  - температура в центре  $k$ -ой ячейки.

- Имеет место сходимость численных решений по мере измельчения разностной сетки.
- Имеется достаточно близкое соответствие норм численных решений, полученных на грубой сетке с алгоритмом адаптации и на подробной сетке в 4 раза мельче.

При этом затраченное на расчет с алгоритмом адаптации время меньше примерно в

**8-10** раз

Такие большие преимущества по временным затратам связаны с тем, что измельчению подвергается лишь малая часть области решения задачи.

## В данной работе:

- Рассмотрен метод сквозного счета, на основе применения разностного аналога  $\delta$ -функции, для численного решения двумерных задач теплопроводности с фазовыми переходами (задач Стефана).
- Для повышения точности численного решения вводится адаптация разностной сетки по градиенту температур и в зоне границ фазовых переходов.
- Реализована разностная схема «Ромб» для решения рассмотренных задач на адаптивно-встраиваемых сетках.
- Для проведения численных расчетов был разработан пакет программ на языке программирования C++ и C++\CLI, включающий в себя пользовательскую оболочку и программу вычислений.
- Введение адаптивной сетки позволило значительно повысить точность решения при небольших затратах по времени расчета.
- Анализ результатов численного решения задачи о плавлении бруска железа показал, что преимущество применения адаптивных сеток для задач с фазовыми переходами сохранилось и в двумерном случае.

